

УДК 621.317 766.3

ЕСТЕСТВЕННЫЕ ФЛУКТУАЦИИ В КВАРЦЕВОМ ГЕНЕРАТОРЕ

А. Н. Малахов

Подробно анализируются естественные флуктуации амплитуды и частоты колебаний кварцевого и анодного контуров кварцевого генератора. Рассматривается форма спектральной линии обоих колебаний.

Теоретическому рассмотрению флуктуаций в двухконтурном кварцевом генераторе посвящены, по-видимому, всего два кратких сообщения [1, 2]. Вместе с тем, интерес к флуктуациям в кварцевых генераторах не ослабевает (см., например, [3-5]). Поэтому представляется целесообразным проведение сравнительно подробного и всестороннего теоретического анализа как естественных, так и технических флуктуаций кварцевого генератора.

Настоящая работа посвящена рассмотрению естественных флуктуаций амплитуды и частоты колебаний кварцевого генератора*.

1. ФЛУКТУАЦИОННЫЕ УРАВНЕНИЯ ДВУХКОНТУРНОГО ГЕНЕРАТОРА

Прежде чем приступить непосредственно к исследованию кварцевого генератора, проведем общий анализ произвольного двухконтурного генератора с шумами. Рассмотрим автоколебательную систему с двумя степенями свободы, находящуюся под воздействием малых случайных сил и описываемую следующими уравнениями:

$$\begin{aligned} \frac{d^2x}{dt^2} + \omega_1^2 x &= F(x, \dot{x}, y, \dot{y}) + \omega_1^2 E_1(t), \\ \frac{d^2y}{dt^2} + \omega_1^2 y &= H(x, \dot{x}, y, \dot{y}) + \omega_1^2 E_2(t). \end{aligned} \quad (1)$$

Здесь $E_1(t)$ и $E_2(t)$ являются достаточно малыми случайными функциями ($\langle E_1(t) \rangle = \langle E_2(t) \rangle = 0$). Правые части F и H также малы, они включают в себя малые расстройки, потери и малые нелинейности системы.

Решение уравнений (1) ищем в виде

$$\begin{aligned} y &= R \cos \psi, & x &= P \cos \psi + B \sin \psi, \\ \dot{y} &= -\omega_1 R \sin \psi, & \dot{x} &= -\omega_1 P \sin \psi + \omega_1 B \cos \psi, \\ \psi &= \omega_1 t + \vartheta, \end{aligned} \quad (2)$$

где R , P , B , ϑ — новые переменные, медленные по сравнению с $\cos(\omega_1 t)$.

* Заметим, что в [1, 2] исследовались в сущности флуктуации колебаний только кварцевого контура; в то время как практически не меньший интерес представляют и флуктуации колебаний вспомогательного контура.

Пользуясь методом усреднения (см. [6, 7]), для новых переменных получим следующие укороченные уравнения:

$$\frac{dR}{dt} = -\frac{1}{2\omega_1} \Phi_H(\omega_1, R, P, B) - \frac{\omega_1}{2} a_{2s}(t),$$

$$\begin{aligned} \frac{dP}{dt} = & -\frac{1}{2\omega_1} \Phi_F(\omega_1, R, P, B) + \frac{B}{2R\omega_1} \Psi_H(\omega_1, R, P, B) - \\ & - \frac{\omega_1}{2} \left[a_{1s}(t) - \frac{B}{R} a_{2c}(t) \right], \end{aligned} \quad (3)$$

$$\frac{dB}{dt} = \frac{1}{2\omega_1} \Psi_F(\omega_1, R, P, B) - \frac{P}{2R\omega_1} \Psi_H(\omega_1, R, P, B) + \frac{\omega_1}{2} \left[a_{1c}(t) - \frac{P}{R} a_{2c}(t) \right],$$

$$\frac{d\vartheta}{dt} = -\frac{1}{2R\omega_1} \Psi_H(\omega_1, R, P, B) - \frac{\omega_1}{2R} a_{2c}(t).$$

Здесь обозначено (в пределах интегралов $T_1 = 2\pi/\omega_1$)

$$\Phi_F = \frac{1}{\pi} \int_0^{2\pi} F(P \cos \xi + B \sin \xi, \dots) \sin \xi \, d\xi,$$

$$\Psi_F = \frac{1}{\pi} \int_0^{2\pi} F(P \cos \xi + B \sin \xi, \dots) \cos \xi \, d\xi,$$

$$\Phi_H = \frac{1}{\pi} \int_0^{2\pi} H(P \cos \xi + B \sin \xi, \dots) \sin \xi \, d\xi,$$

$$\Psi_H = \frac{1}{\pi} \int_0^{2\pi} H(P \cos \xi + B \sin \xi, \dots) \cos \xi \, d\xi, \quad (4)$$

$$a_{1s} = \frac{1}{T_1} \int_{t-T_1}^t 2E_1(\xi) \sin(\omega_1 \xi + \vartheta) \, d\xi,$$

$$a_{1c} = \frac{1}{T_1} \int_{t-T_1}^t 2E_1(\xi) \cos(\omega_1 \xi + \vartheta) \, d\xi,$$

$$a_{2s} = \frac{1}{T_1} \int_{t-T_1}^t 2E_2(\xi) \sin(\omega_1 \xi + \vartheta) \, d\xi, \quad a_{2c} = \frac{1}{T_1} \int_{t-T_1}^t 2E_2(\xi) \cos(\omega_1 \xi + \vartheta) \, d\xi.$$

Разбивая амплитуды и фазу колебаний на регулярные и флуктуационные составляющие

$$R = R_p + \rho_1, \quad P = P_p + \rho_2, \quad B = B_p + \rho_3, \quad \vartheta = \vartheta_p + \varphi,$$

для регулярных слагаемых имеем уравнения

$$\begin{aligned} \frac{dR_p}{dt} &= -\frac{1}{2\omega_1} \Phi_H(\omega_1, R_p, P_p, B_p), \\ \frac{dP_p}{dt} &= -\frac{1}{2\omega_1} \Phi_F(\omega_1, R_p, P_p, B_p) + \frac{B_p}{2R_p\omega_1} \Psi_H(\omega_1, R_p, P_p, B_p), \\ \frac{dB_p}{dt} &= \frac{1}{2\omega_1} \Psi_F(\omega_1, R_p, P_p, B_p) - \frac{P_p}{2R_p\omega_1} \Psi_H(\omega_1, R_p, P_p, B_p), \\ \frac{d\theta_p}{dt} &= -\frac{1}{2R_p\omega_1} \Psi_H(\omega_1, R_p, P_p, B_p) \equiv \Delta\omega, \end{aligned} \quad (5)$$

где $\Delta\omega$ — поправка на частоту.

Установившиеся значения регулярных амплитуд R_0, P_0, B_0 и поправки на частоту $\Delta\omega_0$ находятся, как легко видеть, из уравнений

$$\begin{aligned} \Phi_H(\omega_1, R_0, P_0, B_0) &= 0, \\ R_0\Phi_F(\omega_1, R_0, P_0, B_0) &= B_0\Psi_H(\omega_1, R_0, P_0, B_0), \\ R_0\Psi_H(\omega_1, R_0, P_0, B_0) &= P_0\Psi_H(\omega_1, R_0, P_0, B_0), \\ \Delta\omega_0 &= -\frac{1}{2\omega_1 R_0} \Psi_H(\omega_1, R_0, P_0, B_0). \end{aligned} \quad (6)$$

Частота автоколебаний равна, следовательно, $\omega_0 = \omega_1 + \Delta\omega_0$. В этом случае $\theta = \Delta\omega_0 t + \varphi$, $\psi = \omega_0 t + \varphi$ и случайные функции $a(t)$ можно записать в виде

$$\begin{aligned} a_{1s} &= -e_{\perp 1} \cos \varphi + e_{\parallel 1} \sin \varphi, & a_{1c} &= e_{\parallel 1} \cos \varphi + e_{\perp 1} \sin \varphi, \\ a_{2s} &= -e_{\perp 2} \cos \varphi + e_{\parallel 2} \sin \varphi, & a_{2c} &= e_{\parallel 2} \cos \varphi + e_{\perp 2} \sin \varphi, \end{aligned}$$

где обозначено

$$e_{\parallel 1,2} = \frac{1}{T_0} \int_{t-T_0}^t 2E_{1,2}(\xi) \cos(\omega_0 \xi) d\xi, \quad e_{\perp 1,2} = -\frac{1}{T_0} \int_{t-T_0}^t 2E_{1,2}(\xi) \sin(\omega_0 \xi) d\xi.$$

Ограничимся рассмотрением флуктуаций в установившемся режиме и случае малых амплитудных флуктуаций. Вводя относительные амплитудные флуктуации $\alpha_1 = \rho_1/R_0$, $\alpha_2 = \rho_2/P_0$, $\alpha_3 = \rho_3/B_0$, вместо (3) с учетом (5), (6) получим

$$\begin{aligned} \frac{d\alpha_1}{dt} &= -p_{11}\alpha_1 - p_{12}\alpha_2 - p_{13}\alpha_3 + \frac{\omega_1}{2R_0} (e_{\perp 2} \cos \varphi - e_{\parallel 2} \sin \varphi), \\ \frac{d\alpha_2}{dt} &= -p_{21}\alpha_1 - p_{22}\alpha_2 - p_{23}\alpha_3 + \\ &+ \frac{\omega_1}{2P_0} \left[\left(e_{\perp 1} + \frac{B_0}{R_0} e_{\parallel 2} \right) \cos \varphi - \left(e_{\parallel 1} - \frac{B_0}{R_0} e_{\perp 2} \right) \sin \varphi \right], \\ \frac{d\alpha_3}{dt} &= -p_{31}\alpha_1 - p_{32}\alpha_2 - p_{33}\alpha_3 + \\ &+ \frac{\omega_1}{2B_0} \left[\left(e_{\parallel 1} - \frac{P_0}{R_0} e_{\parallel 2} \right) \cos \varphi - \left(e_{\perp 1} - \frac{P_0}{R_0} e_{\perp 2} \right) \sin \varphi \right], \end{aligned} \quad (7)$$

$$v(t) = \frac{d\varphi}{dt} = -q_1\alpha_1 - q_2\alpha_2 - q_3\alpha_3 - \frac{\omega_1}{2R_0} (e_{\parallel 2} \cos \varphi + e_{\perp 2} \sin \varphi).$$

Здесь коэффициенты

$$\begin{aligned} p_{11} &= \frac{1}{2\omega_1} \left(\frac{\partial \Phi_H}{\partial R} \right)_0, & p_{22} &= \frac{1}{2\omega_1} \left(\frac{\partial \Phi_F}{\partial P} - \frac{B}{R} \frac{\partial \Phi_H}{\partial P} \right)_0, \\ p_{33} &= \frac{1}{2\omega_1} \left(\frac{P}{R} \frac{\partial \Phi_H}{\partial B} - \frac{\partial \Phi_F}{\partial B} \right)_0, & p_{12} &= \frac{P_0}{2\omega_1 R_0} \left(\frac{\partial \Phi_H}{\partial P} \right)_0, \\ p_{13} &= \frac{B_0}{2\omega_1 R_0} \left(\frac{\partial \Phi_H}{\partial B} \right)_0, & p_{21} &= \frac{R_0}{2\omega_1 P_0} \left[\frac{\partial \Phi_F}{\partial R} - \frac{\partial}{\partial R} \left(\frac{B\Psi_H}{R} \right) \right]_0, \\ p_{23} &= \frac{B_0}{2\omega_1 P_0} \left[\frac{\partial \Phi_F}{\partial B} - \frac{\partial}{\partial B} \left(\frac{B\Psi_H}{P} \right) \right]_0, & p_{31} &= \frac{R_0}{2\omega_1 B_0} \left[\frac{\partial}{\partial R} \left(\frac{P\Psi_H}{R} \right) - \frac{\partial \Psi_F}{\partial R} \right]_0, \\ p_{32} &= \frac{P_0}{2\omega_1 B_0} \left[\frac{\partial}{\partial P} \left(\frac{P\Psi_H}{R} \right) - \frac{\partial \Psi_F}{\partial P} \right]_0 \end{aligned}$$

показывают взаимосвязь амплитудных флуктуаций, а коэффициенты

$$\begin{aligned} q_1 &= \frac{R_0}{2\omega_1} \left[\frac{\partial}{\partial R} \left(\frac{\Psi_H}{R} \right) \right]_0, & q_2 &= \frac{P_0}{2\omega_1} \left[\frac{\partial}{\partial P} \left(\frac{\Psi_H}{R} \right) \right]_0, \\ q_3 &= \frac{B_0}{2\omega_1} \left[\frac{\partial}{\partial B} \left(\frac{\Psi_H}{R} \right) \right]_0 \end{aligned}$$

характеризуют зависимость фазовых флуктуаций автоколебаний от амплитудных. Индекс «нуль» у скобки означает взятие производных в точках установившегося режима.

Легко записать условия устойчивости установившегося режима автоколебаний. Рассматриваемое решение (2) будет устойчиво по амплитудам, если все корни характеристического уравнения

$$\begin{vmatrix} p_{11} + \lambda & p_{12} & p_{13} \\ p_{21} & p_{22} + \lambda & p_{23} \\ p_{31} & p_{32} & p_{33} + \lambda \end{vmatrix} = \lambda^3 + a_2\lambda^2 + a_1\lambda + a_0 = 0 \quad (8)$$

имеют отрицательную вещественную часть. Раскрывая определитель, найдем

$$\begin{aligned} a_0 &= p_{11} P_{11} + p_{12} P_{12} + p_{13} P_{13}, \\ a_1 &= P_{11} + P_{22} + P_{33}, \\ a_2 &= p_{11} + p_{22} + p_{33}, \end{aligned}$$

где P_{ij} — алгебраическое дополнение элемента p_{ij} .

Согласно критерию Раута—Гурвица все корни характеристического уравнения (8) имеют отрицательную вещественную часть в том и только в том случае, если

$$a_2 > 0, \quad a_1 > 0, \quad a_0 > 0, \quad a_2 a_1 - a_0 > 0. \quad (9)$$

Будем полагать, что эти условия выполнены.

Что касается фазы, то со временем, как это следует из последнего

уравнения (7), исчезает производная $\frac{d\varphi}{dt}$, и сама фаза, следовательно, может принимать любое постоянное значение. Таким образом, аналогично случаю автогенератора с одной степенью свободы, имеется фазовая нечувствительность решения, которая в присутствии флуктуационных сил приводит к уширению спектральной линии автоколебания.

Кроме $\alpha_1(t)$ - и $\nu(t)$ -флуктуаций амплитуды и частоты колебания $y(t)$, представляют интерес флуктуации амплитуды и частоты колебания

$$x(t) = P_0(1 + \alpha_2) \cos \psi + B_0(1 + \alpha_3) \sin \psi = Q_0(1 + \beta) \cos(\psi + \theta).$$

Установившимися значениям P_0 и B_0 соответствуют установившиеся значения Q_0 и θ_0 :

$$Q_0^2 = P_0^2 + B_0^2, \quad \operatorname{tg} \theta_0 = -B_0/P_0.$$

Флуктуациям α_2, α_3 соответствуют флуктуации амплитуды $\beta(t)$ и фазы $\psi_1(t) = \theta - \theta_0$. Нетрудно найти, что

$$\beta(t) = m_2 \alpha_2(t) + m_3 \alpha_3(t), \quad \psi_1(t) = m_0 [\alpha_2(t) - \alpha_3(t)], \quad (10)$$

где $m_2 = P_0^2/Q_0^2$, $m_3 = B_0^2/Q_0^2$, $m_0 = B_0 P_0/Q_0^2$.

Поэтому флуктуации частоты колебания $x(t)$ равны

$$\nu_a(t) = \nu(t) + \frac{d\psi_1}{dt} = \nu(t) + m_0 \left(\frac{d\alpha_2}{dt} - \frac{d\alpha_3}{dt} \right). \quad (11)$$

2. ФЛУКТУАЦИОННЫЕ УРАВНЕНИЯ КВАРЦЕВОГО ГЕНЕРАТОРА

Одна из типичных схем кварцевого генератора изображена на рис. 1. Источники тепловых шумов представлены случайными ЭДС $\varepsilon_T, \varepsilon_{TK}$. Случайный ток $i_{др}$ представляет дробовой шум лампы, анодный ток которой записываем обычным образом: $I_a = S y (1 - \beta_0 y^2)$. Остальные обозначения ясны из рисунка.

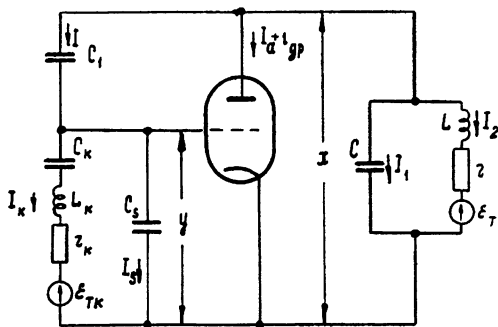


Рис. 1.

$h_a = (\omega_1^2 - \omega_a^2)/\omega_1^2$, где $\omega_1^2 = L_k^{-1} [C_k^{-1} + (C_1 + C_s)^{-1}]$, $\omega_k^2 = 1/L_k C_k$, $\omega_a^2 = 1/L(C + C_1)$, имеют порядок малости μ (за малый параметр принимаем $\mu = Q_a^{-1}$). При этом $Q_k^{-1} \sim \mu^2$.

Для x и y нетрудно получить уравнения (1), где

$$F(x, \dot{x}, y, \dot{y}) = h_a \omega_1^2 x - \Pi_a \dot{x} - s_1 \omega_1^2 y - l \omega_1 \dot{y} (1 - 3\beta_0 y^2),$$

$$H(x, \dot{x}, y, \dot{y}) = -\omega_1 Q_k^{-1} \dot{y} + s_2 F(x, \dot{x}, y, \dot{y}) - s_2 \omega_1^2 h_k x, \quad (12)$$

$$E_1(t) = -\frac{l}{\omega_1 S} \frac{di_{np}}{dt} + \varepsilon_T,$$

$$E_2(t) = h_k \varepsilon_{T_k} + s_2 E_1(t).$$

Здесь $\Pi_a = \omega_1 Q_a^{-1}$ — полоса анодного контура, $l = S/\omega_1 (C + C_1)$. Легко убедиться, что по отношению к $x(t)$, $y(t)$ имеют место соотношения $F \sim \omega_1^2 \mu$, $H \sim \omega_1^2 \mu^2$. С другой стороны, полагая, что случайная сила E_1 как возмущение имеет порядок малости μ^2 , получим $E_2 \sim \mu^3$.

Таким образом, правые части уравнений (1) неравноценны, что является характерной чертой кварцевого генератора. Указанное обстоятельство отражает разный порядок добротности контуров генератора.

На основании формул (2), (4) нетрудно найти

$$\Phi_F = \omega_1^2 \left[h_a B + Q_a^{-1} P + lR \left(1 - \frac{3}{4} \beta_0 R^2 \right) \right],$$

$$\Psi_F = \omega_1^2 (h_a P - Q_a^{-1} B - s_1 R),$$

$$\Phi_H = s_2 \Phi_F + \omega_1^2 (-s_2 h_k B + Q_k^{-1} R),$$

$$\Psi_H = s_2 \Psi_F + \omega_1^2 (-s_2 h_k P).$$

Вычисляя отсюда p_{ij} и q_i , можно показать, что p_{1j} , q_i имеют порядок малости $\omega_1 \mu^2$, в то время как остальные p_{ij} порядка $\omega_1 \mu$. Решая уравнения (6), можно найти установившиеся значения

$$B_0 = R_0/g_2, \quad P_0 = R_0/g_1,$$

$$\frac{3}{4} l \beta_0 R_0^2 = l + \frac{h_a}{s_2 Q_k h_k} + \frac{\lambda_0}{s_2 h_a h_k Q_a Q_k},$$

$$\Delta \omega_0 = \omega_1 \frac{\lambda_0}{2 Q_k h_a},$$

где обозначено

$$g_1 = s_2 h_a h_k Q_k \lambda_0^{-1} \sim \mu^0, \quad g_2 = s_2 h_k Q_k \sim \mu^0,$$

$$\lambda_0 = s_1 s_2 h_k Q_k + Q_a^{-1} \sim \mu.$$

Учитывая порядок малости p_{ij} , находим коэффициенты характеристического уравнения (8). Вводя частоты $\Omega_a = \omega_1 h_a/2$ и $\Omega_0^2 = \Omega_a^2 + \Pi_a^2/4$, получим

$$a_0 = \Omega_0^2 \Omega_1 \sim \omega_1^3 \mu^4, \quad a_1 = \Omega_0^2 \sim \omega_1^2 \mu^2, \quad a_2 = \Pi_a \sim \omega_1 \mu,$$

где

$$\Omega_1 = \frac{\omega_1^3}{8 \Omega_0^2} \left[Q_k^{-1} (Q_a^{-2} + h_a^2) + s_1 s_2 h_k Q_a^{-1} + s_2 h_a h_k l \left(1 - \frac{9}{4} \beta_0 R_0^2 \right) \right] \sim \omega_1 \mu^2.$$

Анализируя условия устойчивости (9), можно убедиться, что первое, второе и четвертое условия выполняются автоматически. Третье условие устойчивости сводится к $h_a < 0$. С помощью (9) определим интервал отрицательных значений h_a , где $R_0^2 > 0$, т. е. где существуют автоколебания. Указанный интервал определяется неравенствами $h_{a2} < h_a < h_{a1}$. Граничные значения h_{a1} , h_{a2} являются корнями уравнения

$$l + \frac{h_a}{s_2 Q_k h_k} + \frac{\lambda_0}{s_2 h_k Q_a Q_k h_a} = 0.$$

Для того, чтобы это уравнение имело отрицательные вещественные корни, необходимо выполнение неравенства $l > 2\sqrt{\lambda_0}/s_2 Q_k h_k \sqrt{Q_a}$, которое является условием самовозбуждения кварцевого автогенератора.

Принимая во внимание последнюю формулу (12), функции $e_{\parallel 2}$, $e_{\perp 2}$ можно записать в виде

$$e_{\parallel 2} = h_k e_{\parallel k} + s_2 e_{\parallel 1}, \quad e_{\perp 2} = h_k e_{\perp k} + s_2 e_{\perp 1}.$$

Поскольку $\varepsilon_T(t)$, $\varepsilon_{Tk}(t)$, i_{xp} являются дельта-коррелированными взаимонезависимыми случайными процессами, то согласно [8] функции $e_{\parallel 1}$, $e_{\perp 1}$, $e_{\parallel k}$, $e_{\perp k}$ также можно считать дельта-коррелированными и взаимонезависимыми. Это дает основание применить для решения (7) метод уравнения Эйнштейна—Фоккера—Планка. С другой стороны, используя метод статистической эквивалентности [8], можно показать, что уравнения (7) статистически эквивалентны следующим линейным уравнениям:

$$\begin{aligned} \frac{da_1}{dt} &= -p_{11} a_1 - p_{12} a_2 - p_{13} a_3 + f_1, \\ \frac{da_2}{dt} &= -p_{21} a_1 - p_{22} a_2 - p_{23} a_3 + f_2, \\ \frac{da_3}{dt} &= -p_{31} a_1 - p_{32} a_2 - p_{33} a_3 + f_3, \\ v(t) &= -q_1 a_1 - q_2 a_2 - q_3 a_3 + f_4. \end{aligned} \tag{13}$$

Здесь введены обозначения

$$\begin{aligned} f_1 &= \frac{\omega_1}{2R_0} (h_k e_{\perp k} + s_2 e_{\perp 1}), & f_2 &= \frac{\omega_1}{2P_0} e_{\perp 1}, \\ f_3 &= \frac{\omega_1}{2B_0} e_{\parallel 1}, & f_4 &= -\frac{\omega_1}{2R_0} (h_k e_{\parallel k} + s_2 e_{\parallel 1}). \end{aligned}$$

Нетрудно найти значения спектральных плотностей мощности функций f_1 , f_2 , f_3 , f_4 :

$$\begin{aligned} S_{f_1}(\Omega) = S_{f_1}(\Omega)_i &= \frac{D_1}{2\pi} \varepsilon^2, & S_{f_2}(\Omega) &= \frac{D_1}{2\pi} g_1^2, & S_{f_3}(\Omega) &= \frac{D_1}{2\pi} g_2^2, \\ S_{f_1 f_3}^0(\Omega) &= \frac{D_1}{2\pi} s_2 g_1, & S_{f_3 f_4}^0(\Omega) &= -\frac{D_1}{2\pi} s_2 g_2. \end{aligned} \tag{14}$$

Остальные функции $S_{f_i f_j}$ равны нулю. Здесь $D_1 = \pi \omega_1^2 c_1 R_0^{-2}$, $\varepsilon^2 = s_2^2 + h_k^2 m$, $m = c_k c_1^{-1}$. Коэффициенты c_1 и c_k являются значениями спектральных плотностей функций $E_1(t)$ и $\varepsilon_{Tk}(t)$ на частоте автоколебаний.

3. ЕСТЕСТВЕННЫЕ ФЛУКТУАЦИИ КВАРЦЕВОГО ГЕНЕРАТОРА

Правые части первого и четвертого уравнений (13) на порядок меньше правых частей второго и третьего уравнений. Это значит, что $\alpha_1(t)$ и $\varphi(t)$ изменяются значительно медленнее, чем $\alpha_2(t)$ и $\alpha_3(t)$. При этом, как можно показать, полосы α_1 и φ , α_2 и α_3 по порядку величины равны соответственно Ω_1 и Ω_0 .

Различный порядок малости характерных частот Ω_1 и Ω_0 позволяет точный громоздкий расчет спектров амплитудных и частотных флуктуаций во всем диапазоне частот заменить существовавшим более простым расчетом, выполняемым отдельно для частот $|\Omega| \ll \Omega_0$ (медленные компоненты) и для частот $|\Omega| \gg \Omega_1$ (быстрые компоненты). Отметим, что этот прием представляет развитие метода, введенного Хохловым [9, 10] для приближенного анализа системы неравноценных уравнений.

Анализ начнем с медленной компоненты амплитудных флуктуаций кварцевого контура. Для $|\Omega| \ll \Omega_0$ первые три уравнения (13) принимают вид

$$\begin{aligned} \frac{d\alpha_1}{dt} &= -p_{11}\alpha_1 - p_{12}\alpha_2 - p_{13}\alpha_3 + f_1, \\ 0 &= -p_{21}\alpha_1 - p_{22}\alpha_2 - p_{23}\alpha_3 + f_2, \\ 0 &= -p_{31}\alpha_1 - p_{32}\alpha_2 - p_{33}\alpha_3 + f_3. \end{aligned} \quad (15)$$

Из двух последних уравнений находим

$$\begin{aligned} \alpha_2 &= \Omega_0^{-2} (P_{12}\alpha_1 + p_{33}f_2 - p_{23}f_3), \\ \alpha_3 &= \Omega_0^{-2} (P_{13}\alpha_1 + p_{22}f_3 - p_{32}f_2). \end{aligned} \quad (16)$$

Подставляя эти значения в первое уравнение (15), для медленной компоненты $\alpha_1(t)$ получим

$$a_1 \frac{d\alpha_1}{dt} + a_0\alpha_1 = P_{11}f_1 + P_{21}f_2 + P_{31}f_3. \quad (17)$$

Отсюда, учитывая (14), находим спектральную плотность

$$S_{\alpha_1}(\Omega) = \frac{A_0 \Omega_1^2}{\Omega^2 + \Omega_1^2} \frac{D_1}{2\pi\Omega_0^2}, \quad (18)$$

где

$$A_0 = \frac{1}{\Omega_0^2 \Omega_1^2} [P_{11}^2 h_k^2 m + (P_{11}s_2 + P_{21}g_1)^2 + P_{31}^2 g_2^2] \sim \mu^0.$$

Таким образом, медленная компонента амплитудных флуктуаций кварцевого контура действительно обладает полосой, равной Ω_1 , и имеет максимум на нулевой частоте. Поскольку быстрая компонента $\alpha_1(t)$ существенно меньше медленной, (18) может служить приближенным выражением $S_{\alpha_1}(\Omega)$ для всех значений частот.

Вместе с тем исследование быстрой компоненты α_1 является необходимым, если рассматривать спектральную плотность амплитудных флуктуаций кварцевого контура в области $\Omega \simeq \Omega_0$. Поскольку быстрая компонента α_1 много меньше быстрых компонент α_2 и α_3 , все быстрые компоненты определяются следующими уравнениями, получаемыми из первых трех уравнений (13) путем отбрасывания членов $p_{11}\alpha_1$, $p_{21}\alpha_1$, $p_{31}\alpha_1$:

$$\frac{d\alpha_1}{dt} = -p_{12}\alpha_2 - p_{13}\alpha_3 + f_1,$$

$$\frac{d\alpha_2}{dt} = -p_{22}\alpha_2 - p_{23}\alpha_3 + f_2,$$

$$\frac{d\alpha_3}{dt} = -p_{32}\alpha_2 - p_{33}\alpha_3 + f_3.$$

Разделяя эти уравнения по отношению к α_1 , найдем

$$\begin{aligned} \frac{d^3\alpha_1}{dt^3} + \Pi_a \frac{d^2\alpha_1}{dt^2} + \Omega_0^2 \frac{d\alpha_1}{dt} = & -p_{12} \frac{df_2}{dt} - p_{13} \frac{df_3}{dt} + \\ & + p_{31}f_3 + \frac{d^2f_1}{dt^2} + \Pi_a \frac{df_1}{dt} + \Omega_0^2 f_1. \end{aligned}$$

Для быстрых компонент α_2 и α_3 получим соответственно

$$\begin{aligned} \frac{d^2\alpha_2}{dt^2} + \Pi_a \frac{d\alpha_2}{dt} + \Omega_0^2 \alpha_2 = & \frac{df_2}{dt} + p_{33}f_2 - p_{23}f_3, \\ \frac{d^2\alpha_3}{dt^2} + \Pi_a \frac{d\alpha_3}{dt} + \Omega_0^2 \alpha_3 = & \frac{df_3}{dt} + p_{22}f_3 - p_{32}f_2. \end{aligned} \quad (20)$$

Нетрудно найти следующее значение спектральной плотности быстрой компоненты $\alpha_1(t)$:

$$S_{\alpha_1}(\Omega) = \frac{\Omega_0^2}{\Omega^2} \left[\varepsilon^2 + \frac{A_2 \Omega_1^2 \Omega^2 + A_0 \Omega_0^2 \Omega_1^2 - \Omega_0^4 \varepsilon^2}{(\Omega^2 - \Omega_0^2)^2 + \Pi_a^2 \Omega^2} \right] \frac{D_1}{2\pi \Omega_0^2}, \quad (21)$$

где

$$A_2 = \frac{1}{\Omega_1^2} [p_{12}^2 g_1^2 + p_{13}^2 g_2^2 - 2s_2 g_1 (p_{21} + \Pi_a p_{12})] \sim \mu^0.$$

Объединяя формулы (18) и (21), для всего диапазона частот имеем

$$S_{\alpha_1}(\Omega) = A(\Omega) \frac{D_1}{2\pi \Omega_0^2}, \quad (22)$$

$$A(\Omega) = \frac{A_0 \Omega_1^2}{\Omega^2 + \Omega_1^2} + \Omega_0^2 \frac{(\varepsilon^2 - \xi^2) \Omega^2 + (\varepsilon^2 - \xi^2) (\Pi_a^2 - 2\Omega_0^2) + A_2 \Omega_1^2}{(\Omega^2 - \Omega_0^2)^2 + \Pi_a^2 \Omega^2}.$$

Здесь $\xi^2 = A_0 \Omega_1^2 \Omega_0^{-2} \sim \mu^2$. График безразмерной функции $A(\Omega)$ приведен на рис. 2. Из этого графика хорошо видно, что основная мощность амплитудных флуктуаций действительно содержится в медленной компоненте, а спектральную плотность быстрой компоненты, которая имеет максимум вблизи Ω_0 , следует учитывать, начиная с частот $\Omega \gg \Omega_1$.

Для $\beta(t)$ -флуктуаций амплитуды колебаний анодного контура аналогично можно найти

$$S_{\beta}(\Omega) = B(\Omega) \frac{D_1}{2\pi \Omega_0^2}, \quad (23)$$

$$B(\Omega) = \frac{B_1 \Omega_1^2}{\Omega^2 + \Omega_1^2} + \Omega_0^2 \frac{2l_0^2 \Omega^2 + k_0^2 \Omega_0^2}{(\Omega^2 - \Omega_0^2)^2 + \Pi_a^2 \Omega^2}.$$

Здесь введены следующие обозначения:

$$B_1 = k_1^2 A_0 + 2k_1 k_2 M_1 + 2k_1 k_3 M_2 \sim \mu^0,$$

$$k_0^2 = k_2^2 g_1^2 + k_3^2 g_2^2 \sim \mu^0, \quad k_1 = (m_2 P_{12} + m_3 P_{13}) \Omega_0^{-2} \sim \mu^0,$$

$$M_1 = \Omega_0^{-1} \Omega_1^{-1} (P_{11} s_2 g_1 + P_{21} g_1^2) \sim \mu^0,$$

$$M_2 = \Omega_0^{-1} \Omega_1^{-1} P_{31} g_2^2 \sim \mu^0, \quad k_2 = (m_2 p_{33} - m_3 p_{32}) \Omega_0^{-1} \sim \mu^0,$$

$$l_0^2 = R_0^2 Q_0^{-2} \sim \mu^0, \quad k_3 = (m_3 p_{22} - m_2 p_{23}) \Omega_0^{-1} \sim \mu^0.$$

График безразмерной функции $B(\Omega)$ представлен на рис. 2. Из сравнения $A(\Omega)$ и $B(\Omega)$ следует, во-первых, что медленные компоненты α_1 и β имеют одинаковый порядок малости и, во-вторых, что полуширина полосы амплитудных флуктуаций анодного контура равна Ω_0 . Кроме этого очевидно наличие максимума $S_\beta(\Omega)$ при $\Omega \simeq \Omega_0$, если $\Omega_0 \gg \Pi_a$.

Перейдем теперь к анализу флуктуаций частоты кварцевого контура $\nu(t)$. Из последнего уравнения (13) для медленной компоненты флуктуаций частоты $\nu(t)$ получаем с учетом (16)

$$\nu(t) = -q\alpha_1 + x_2 f_2 + x_3 f_3 + f_4, \tag{24}$$

где

$$q = q_1 + q_2 \frac{P_{12}}{\Omega_0^2} + q_3 \frac{P_{13}}{\Omega_0^2} \sim \omega_1 \mu^2,$$

$$x_2 = -q_2 \frac{P_{33}}{\Omega_0^2} + q_3 \frac{P_{32}}{\Omega_0^2} \sim \mu,$$

$$x_3 = q_2 \frac{P_{23}}{\Omega_0^2} - q_3 \frac{P_{22}}{\Omega_0^2} \sim \mu.$$

Отсюда, принимая во внимание (17), можно найти следующее выражение для спектральной плотности медленной компоненты флуктуаций частоты $\nu(t)$:

$$S_\nu(\Omega) = \left(\frac{\Delta_1 \Omega_1^2}{\Omega^2 + \Omega_1^2} + \delta + \varepsilon^2 \right) \frac{D_1}{2\pi}, \tag{25}$$

где введены обозначения

$$\Delta_1 = q^2 \Omega_0^{-2} A_0 - 2q \Omega_0^{-1} (M_1 x_2 + M_2 x_3) \sim \mu^2,$$

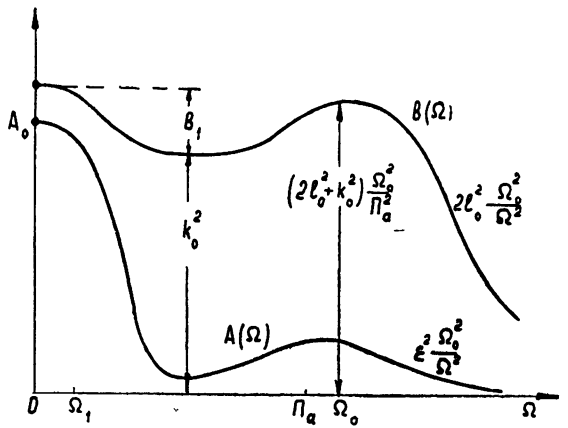


Рис. 2.

$$\delta = x_2^2 g_1^2 + x_3^2 g_2^2 - 2x_3 s_2 g_2 \sim \mu^2,$$

$$x_3' = x_3 - s_2/g_2.$$

Из последнего уравнения (13) с точностью до члена $q_1 \alpha_1$ следует соотношение для быстрой компоненты $v(t)$:

$$v(t) = -q_2 \alpha_2 - q_3 \alpha_3 + f_4, \quad (26)$$

где теперь α_2 и α_3 заданы вторым и третьим уравнениями (19). Объединяя (26) и (19), получаем для $v(t)$

$$\frac{d^2 v}{dt^2} + \Pi_a \frac{dv}{dt} + \Omega_0^2 v = -q_2 \frac{df_2}{dt} + q_3 \frac{df_3}{dt} +$$

$$+ x_2 \Omega_0^2 f_2 + x_3 \Omega_0^2 f_3 + \frac{d^2 f_4}{dt^2} + \Pi_a \frac{df_4}{dt} + \Omega_0^2 f_4.$$

Из последнего уравнения находим спектральную плотность

$$S_v(\Omega) = \left[\varepsilon^2 + \Omega_0^2 \frac{\eta^2 \Omega^2 + \Omega_0^2 \delta}{(\Omega^2 - \Omega_0^2)^2 + \Pi_a^2 \Omega^2} \right] \frac{D_1}{2\pi}, \quad (27)$$

где

$$\eta^2 = \Omega_0^{-2} (q_1^2 g_1^2 + q_3^2 g_2^2) + \left(x_3 - q_3 \frac{\Pi_a}{\Omega_0^2} \right) 2s_2 g_2.$$

Объединяя (25) и (27), получаем следующее окончательное выражение для спектральной плотности флуктуаций частоты:

$$S_v(\Omega) = N_k(\Omega) \frac{D_1}{2\pi}, \quad (28)$$

$$N_k(\Omega) = \varepsilon^2 + \frac{\Delta_1 \Omega_1^2}{\Omega^2 + \Omega_1^2} + \Omega_0^2 \frac{\eta^2 \Omega^2 + \Omega_0^2 \delta}{(\Omega^2 - \Omega_0^2)^2 + \Pi_a^2 \Omega^2}.$$

График безразмерной функции $N_k(\Omega)$ приведен на рис. 3. Эта функция мало изменяется с изменением Ω , оставаясь во всем диапазоне частот величиной второго порядка малости.

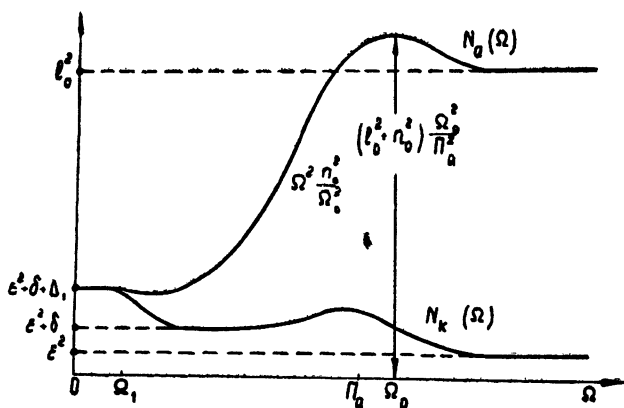


Рис. 3.

Рассмотрим теперь флуктуации частоты колебания анодного контура генератора. Из (11) следует, что в общем случае имеется существенная разница между $\nu(t)$ и $\nu_a(t)$. Поскольку $\nu(t)$ на порядок меньше, чем $\frac{d\alpha_2}{dt}$, $\frac{d\alpha_3}{dt}$ (см. уравнения (13)), то интенсивность флуктуаций частоты колебаний анодного контура существенно больше интенсивности флуктуаций частоты колебаний кварцевого контура. С другой стороны, поскольку спектральные плотности производных $\frac{d\alpha_2}{dt}$ и $\frac{d\alpha_3}{dt}$ равны нулю при $\Omega=0$, $S_\nu(0)=S_{\nu_a}(0)$.

Таким образом, спектральные плотности $S_\nu(\Omega)$ и $S_{\nu_a}(\Omega)$ должны начинаться из одной точки (при $\Omega=0$) и существенно расходиться при возрастании Ω .

Проводя довольно громоздкие, хотя и несложные, вычисления, аналогично предыдущему можно найти значение $S_{\nu_a}(\Omega)$ для всего диапазона частот:

$$S_{\nu_a}(\Omega) = N_a(\Omega) \frac{D_1}{2\pi}, \tag{29}$$

$$N_a(\Omega) = \frac{\Delta_2 \Omega^2 + \Delta_1 \Omega_1^2}{\Omega^2 + \Omega_1^2} + \delta + \varepsilon^2 + \Omega^2 \frac{l_0^2 \Omega^2 + n_0^2 \Omega_0^2}{(\Omega^2 - \Omega_0^2)^2 + \Pi_a^2 \Omega^2}.$$

Здесь введены следующие обозначения:

$$\Delta_2 = n_1^2 A_0 \frac{\Omega_1^2}{\Omega_0^2} + 2M_1 \frac{\Omega_1}{\Omega_0} \left(\frac{n_1 n_2}{\Omega_0} \Omega_1 + \kappa_2 n_1 + q \frac{n_2}{\Omega_0} \right) -$$

$$- 2M_2 \frac{\Omega_1}{\Omega_0} \left(\frac{n_1 n_3}{\Omega_0} \Omega_1 - \kappa'_3 n_1 + q \frac{n_3}{\Omega_0} \right) \sim \mu^2,$$

$$n_0^2 = n_2^2 g_1^2 + n_3^2 g_2^2 \sim \mu^0,$$

$$n_1 = m_0 \Omega_0^{-2} (P_{12} - P_{13}) \sim \mu^0,$$

$$n_2 = m_0 \Omega_0^{-1} (p_{33} + p_{32}) \sim \mu^0,$$

$$n_3 = m_0 \Omega_0^{-1} (p_{23} + p_{22}) \sim \mu^0.$$

График безразмерной функции $N_a(\Omega)$ приведен на рис. 3, откуда видно, что на частотах $|\Omega| \gg \Omega_0$ спектральные плотности флуктуаций частоты колебаний $x(t)$ и $y(t)$ отличаются на два порядка по μ . Это связано с тем, что на этих частотах между флуктуациями частоты обоих контуров (вследствие инерционности последних) практически отсутствует всякое взаимодействие, и эти флуктуации определяются независимо для обоих контуров. В этом случае можно считать, что имеются как бы два отдельных автогенератора, в одном из которых колебательный контур находится в аноде, а другой содержит кварцевый контур в сеточной цепи. Поскольку добротности этих контуров резко различны, то резко отличаются друг от друга и спектральные плотности $S_\nu(\infty)$ и $S_{\nu_a}(\infty)$.

Таким образом, можно считать, что значения $N_k(\infty) = \varepsilon^2$ и $N_a(\infty) = l_0^2$ принадлежат не связанным между собою отдельным автогенераторам. Отметим также, что в нашем случае разница добротностей контуров проявляется в разном порядке связи контуров с лампой.

На частотах порядка Ω_0 начинают сказываться амплитудные флуктуации анодного контура. Особенности $N_k(\Omega)$ и $N_a(\Omega)$ при $\Omega \simeq \Omega_0$ связаны с взаимодействием $\beta(t)$ с $v(t)$ и $v_a(t)$.

При дальнейшем уменьшении частоты флуктуаций начинает играть существенную роль инерционный кварцевый контур, оказывающий свое стабилизирующее действие. Крутой спад $N_a(\Omega)$ при уменьшении Ω и является следствием этого влияния. Особенности $N_k(\Omega)$ и $N_a(\Omega)$ при $\Omega \ll \Omega_1$ связаны с взаимодействием амплитудных флуктуаций кварцевого контура с $v(t)$ и $v_a(t)$.

Наконец, при сколь угодно малых частотах вся система ведет себя так, как будто генератор содержит только один высокочастотный кварцевый контур.

4. ЕСТЕСТВЕННАЯ ФОРМА И ШИРИНА СПЕКТРАЛЬНОЙ ЛИНИИ КВАРЦЕВОГО ГЕНЕРАТОРА

Для определения формы спектра колебания кварцевого генератора необходимо знать совместные спектральные плотности $S_{\alpha, v}^0(\Omega)$ и $S_{\beta, a}^0(\Omega)$, расчет которых можно провести аналогично предыдущему.

Опуская этот расчет, приведем его результаты.

Пренебрегая быстрой компонентой амплитудных флуктуаций, будем иметь

$$S_{\alpha, v}^0(\Omega) = \frac{\gamma_1 \Omega_1^2}{\Omega^2 + \Omega_1^2} \frac{D_1}{2\pi\Omega_0}, \quad (30)$$

где

$$\gamma_1 = -q\Omega_0^{-1}A_0 + x_2M_1 + x_3M_2 \sim \mu.$$

Для любых Ω справедливо соотношение

$$S_{\beta, a}^0(\Omega) = \left[\frac{(\gamma_3 - \gamma_2)\Omega_1^2}{\Omega^2 + \Omega_0^2} + \Omega_0^2 \frac{m_1\Omega^2 + \gamma_2\Omega_0^2}{(\Omega^2 - \Omega_0^2)^2 + \Pi_a\Omega^2} \right] \frac{D_1}{2\pi\Omega_0}, \quad (31)$$

в котором введены обозначения

$$\gamma_2 = M_1\Omega_1\Omega_0^{-1}(k_2n_1 - k_1n_2) + M_2\Omega_1\Omega_0^{-1}(k_1n_3 + k_3n_1) + k_2x_2g_1^2 + k_3x_3g_2^2 \sim \mu,$$

$$\gamma_3 = -k_1q\Omega_0^{-1}A_0 + M_1(k_1x_2 - k_2q\Omega_0^{-1}) + M_2(k_1x_3 - k_3q\Omega_0^{-1}) - k_3s_2g_2 \sim \mu,$$

$$m_1 = m_0\Omega_0^{-1}(p_{32}g_1^2 - p_{23}g_2^2) \sim \mu^0.$$

Анализируя (30) и (31), можно видеть, что четная корреляция между флуктуациями амплитуды и частоты кварцевого контура существует только на малых частотах, сравнимых с полосой кварца, в то время как четная корреляция между амплитудными и частотными флуктуациями анодного контура принимает максимальное значение на частоте порядка полосы анодного контура.

Поскольку характеристики флуктуаций амплитуды и частоты колебаний различны для кварцевого и анодного контуров, то можно ожидать, что колебания $y(t)$ и $x(t)$ будут обладать различными формами спектральной линии.

Существование совместных спектральных плотностей $S_{\alpha, v}^0$, $S_{\beta, a}^0$ приводит к несимметричности форм линий. Можно показать, что вследствие малости амплитудных и частотных флуктуаций формы спектральных линий обоих колебаний даются формулами (6), (7) рабо-

ты [11]; при этом спектральные линии состоят из почти симметричных пиков и несимметричных пьедесталов.

Учитывая (22), (28), (30), на основании вышеуказанных формул получаем следующее выражение для формы спектральной линии колебаний:

$$W_y(\Omega) = \frac{R_0^2}{2} [W_k^0(\Omega) + W_k^1(\Omega)] \frac{D_1}{2\pi\Omega_0^2}.$$

Безразмерные функции $W_k^0(\Omega)$, $W_k^1(\Omega)$, описывающие четную и нечетную компоненты спектра колебаний кварцевого контура, равны

$$W_k^0(\Omega) = \Omega_0^2 \frac{(\epsilon^2 + \delta + \xi^2)\Omega^2 + (\epsilon^2 + \delta + \Delta_1)\Omega_1^2}{[\Omega^2 + (\Delta\Omega/\pi)^2](\Omega^2 + \Omega_0^2)} +$$

$$+ \Omega_0^2 \frac{(\epsilon^2 - \xi^2 - \delta)\Omega^2 - (\epsilon^2 - \xi^2 - \delta)(2\Omega_0^2 - \Pi_a^2) + A_2\Omega_1^2 + \gamma^2\Omega_0^2}{(\Omega^2 - \Omega_0^2)^2 + \Pi_a^2\Omega^2}, \quad (32)$$

$$W_k^1(\Omega) = \frac{2\gamma_1\Omega_0\Omega_1^2\Omega}{[\Omega^2 + (\Delta\Omega/\pi)^2](\Omega^2 + \Omega_1^2)}.$$

Здесь введено обозначение $\Delta\Omega$ для ширины спектральной линии кварцевого генератора, которая на основании [12] равна

$$\Delta\Omega = \pi^2 S_v(0) = \frac{\pi D_1}{2} (\epsilon^2 + \delta + \Delta_1) = \frac{\pi^2 \omega_1^2 c_1}{2R_0^2} (\epsilon^2 + \delta + \Delta_1) \quad (33)$$

и, как нетрудно показать, имеет порядок величины $\sim \omega_0 \mu^6$.

График четной компоненты $W_k^0(\Omega)$ приведен на рис. 4. Пик спектральной линии практически симметричен. Несимметрия пьедестала имеет место только при $\Omega \approx \Omega_1$. При дальнейшем увеличении Ω симметрия $W_y(\Omega)$ вновь восстанавливается.

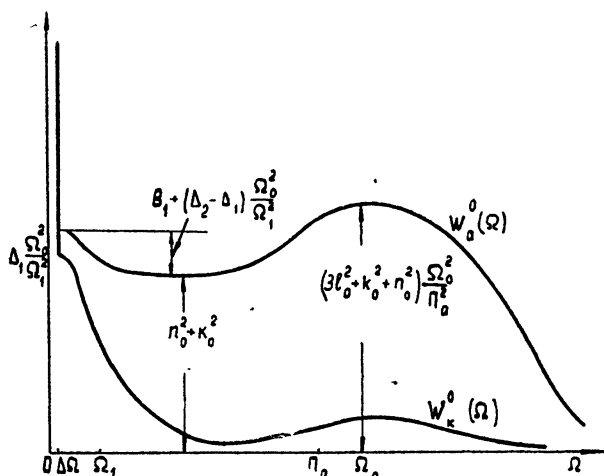


Рис. 4.

Принимая во внимание (23), (29), (31), для колебания анодного контура $x(t)$ получаем

$$W_x(\Omega) = \frac{R_0^2}{2} [W_a^0(\Omega) + W_a^1(\Omega)] \frac{D_1}{2\pi\Omega_0^2},$$

где безразмерные функции $W_a^0(\Omega)$, $W_a^1(\Omega)$ равны

$$W_a^0(\Omega) = \Omega_0^2 \frac{\varepsilon^2 + \delta + \Delta_1}{\Omega^2 + (\Delta\Omega/\pi)^2} + \frac{B_1\Omega^2 + (\Delta_2 - \Delta_1)\Omega_0^2}{\Omega^2 + \Omega_1^2} + \Omega_0^2 \frac{3I_0^2\Omega^2 + \Omega_0^2(k_0^2 + n_0^2)}{(\Omega^2 - \Omega_0^2)^2 + \Pi_a^2\Omega^2},$$

$$W_a^1(\Omega) = \frac{2\gamma_3\Omega_0\Omega}{\Omega^2 + (\Delta\Omega/\pi)^2} - \frac{2(\gamma_3 - \gamma_2)\Omega_0\Omega}{\Omega^2 + \Omega_1^2} + 2 \frac{-\gamma_2\Omega_0\Omega^3 + \Delta_2\Omega_0^3\Omega}{(\Omega^2 - \Omega_0^2)^2 + \Pi_a^2\Omega^2}.$$
(34)

График $W_a^0(\Omega)$ изображен на рис. 4. Пик спектральной линии колебания $x(t)$ такой же, как и для $y(t)$, а пьедестал сильно несимметричен и намного превышает (вплоть до частот $\approx \Omega_0$) пьедестал спектральной линии колебания $y(t)$.

Таким образом, сравнивая (32) с (34), следует прежде всего подчеркнуть совпадение пиков спектральных линий для $x(t)$ и $y(t)$, а также большую величину и «богатство» формы пьедестала спектральной линии анодного колебания по сравнению с колебанием кварцевого контура.

Нетрудно, наконец, определить конкретное значение естественной ширины спектральной линии. Выражение для $E_1(t)$ дается предпоследней формулой (12). Учитывая малость емкости C_1 по сравнению с C , можно найти следующие значения коэффициентов:

$$c_1 = \frac{1}{2\pi} (eI_0\Gamma^2 Q_a^2 r^2 + 2kTr), \quad c_k = \frac{1}{2\pi} 2kTr_k = mc_1.$$

Подставляя эти значения в (33), получаем естественную ширину спектральной линии кварцевого генератора, равную

$$\Delta\Omega = \frac{\pi\omega_0^2}{4R_0^2} [(s_2^2 + \delta + \Delta_1)(2kTr + eI_0\Gamma^2 r^2 Q_a^2) + h_k^2 2kTr_k].$$

Здесь e — заряд электрона, Γ^2 — коэффициент депрессии дробового шума, I_0 — постоянная составляющая анодного тока лампы, k — постоянная Больцмана, T — абсолютная температура.

ЛИТЕРАТУРА

1. М. Е. Жаботинский, П. Е. Зильберман, ДАН СССР, 119, 918 (1958).
2. А. Н. Малахов, Изв. высш. уч. зав.—Радиофизика, 9, № 3, 622 (1966).
3. L. Feu, W. R. Atkinson, J. Newnan, Proc. IEEE, 52, 104 (1964).
4. J. A. Wagner, Proc. IEEE, 54, 207 (1966).
5. Ю. Э. Аптэк, Д. И. Филатов, Радиотехника и электроника, 11, 759 (1966).
6. Н. Н. Боголюбов, Ю. А. Митропольский, Асимптотические методы в теории нелинейных колебаний, Физматгиз, М., 1958.
7. А. Н. Малахов, Изв. высш. уч. зав.—Радиофизика, 6, № 3, 495 (1963).
8. А. Н. Малахов, Изв. высш. уч. зав.—Радиофизика, 7, № 4, 710 (1964).
9. Р. В. Хохлов, ДАН СССР, 97, 411 (1954).
10. Р. В. Хохлов, Радиотехника и электроника, 1, 88 (1956).
11. А. Н. Малахов, Изв. высш. уч. зав.—Радиофизика, 10, № 6, 885 (1967).
13. А. Н. Малахов, Радиотехника и электроника, 2, 1295 (1957).

NATURAL FLUCTUATIONS IN QUARTZ GENERATOR

A. N. Malakhov

Natural amplitude and frequency fluctuations of oscillations of quartz and anode circuits of a quartz generator is analysed in detail. The shape of the spectral line of both oscillations is considered.
